

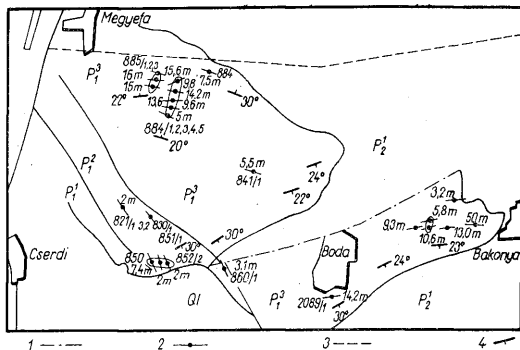
A MECSEKI ALSÓPERMI ÖSSZLET FELSŐ RÉSZÉNEK HULLÁMFODRAIRÓL

SOMOGYI JÁNOS*

(1 ábrával, I táblázattal)

Összefoglalás: A mecseki alsóperm két felső rétegcsoportjában számos hullámfodor-képződés lehet megfigyelni. Ezek csapásiránya az alsóbb, ún. átmeneti homokkő összletben ÉNy-DK-i, a felső, ún. aleurit összletben K-Ny-i, ami egyben az egykori partvonal valószínű csapását is meghatározza. A víztükör - szárazföld elhelyezkedése a hullámfodrok általában szimmetrikus kifejlődése miatt csak részben volt rögzíthető. A fodrok hullámhossza alapján az üledékgyűjtő vízmélysége az alsóbb szintekben átlagosan 4 m-re, középtűt 10-20 m-re, a legfelsőbb szintekben 5-10 m-re tehető.

A Mecsek-hegység Ny-i részén, Bohonya és Bükkösd községek között (1. ábra) mintegy 15 km²-nyi területen enyhe ÉK-i dőléssel bukkannak felszínre a mélyebb vízmosásokban az alsópermiai összlet felső részének vörös aleuritos rétegei. T ő z s é r O. v i z s -



1. ábra. Az alsópermiai összlet felső részének elterjedése a Mecsek-hegységben T ő z s é r O. szerint. M a g y a r á z a t: P₁ Alsópermiai durvatormétkés összlet, P₁' Alsópermiai tarka homokkőcsoport, P₂ Alsópermiai vörösbarna aleurit összlet, P₂' Felsőpermiai tarka homokkőcsoport, Q₁ Pleisztocén lösz. 1. Törésvonal, 2. Hullámfodor csapása, 3. A hullámfodrok átlagsapásának iránya és a partvonal csapása az aleurit összlet felső szintjeiben, 4. Rétegdőlés

Abb. 1. Verbreitung des oberen Teiles des unterpermischen Komplexes im Mecsekgebirge nach O. T ő z s é r. E r k l ä r u n g e n: P₁ - Unterpermischer grobklastischer Komplex, P₁' - Unterpermische Buntsandsteingruppe, P₂ - Unterpermischer rötlich-brauer Aleurilitkomplex, P₂' - Oberpermische Buntsandsteingruppe, Q₁ - Pleistozäner Löss. 1. Bruchlinie, 2. Streichen der Rippelmarken, 3. Richtung des Durchschnittsreichens der Rippelmarken und das Streichen der Küstenlinie in den oberen Horizonten des Aleurilitkomplexes, 4. Schichteneinfallen

* Előadta a Magyarhoni Földtani Társulat Mecsek hegységi csoportjának 1964. III. 19-i ülésén.

gálatai alapján az említett területen nemcsak ez a Barabás A. által elkülönített rétegcsoport, hanem annak fekéjében, a mintegy 200 m vastag, közép- és finomszemű ún. átmeneti homokkő, majd ez alatt az alsóperm alsó részébe tartozó, durvatörmelikes, rétegek is előbukkannak. A két felső — vagyis az átmeneti és az aleurit-összletben térképezés közben Tózsér O. egy-két helyen hullámfodrokat észlelt. Ezért Jámbor Á. megbízásából végigjártam az összlet számbavehető feltárásait. Így a mintegy 200 m vastag átmeneti rétegcsoportban 7, a 700–750 m vastag aleurit-rétegcsoportban pedig 17 hullámfodor-mérést végeztem a finomszemű aleuritos homokkővek és az aleuritos rétegek érintkezési felületén az I. táblázaton összefoglalt eredménnyel.

I. táblázat

Rétegcsoport	Feltárás	A hullámfodor				Kőzetminőség
		csapásirányában	hullámhossza cm	víz feletti oldalának helyzete	hullámhosszából számított vízmedység, m	
Alsóperm átmeneti összlet F ₁	850 sz. feltárás	186—6	18	ÉNy-i	7,2	középszemű vörös homokkő
	851 „	338—158	3,5	DNy-i	0,5	vörösbarna finom-homokos aleurit
	821 „	330—150	4,0	ÉK-i	0,5	vörösbarna finom-homokos aleurit
	852 „	311—131	24	ÉK-i	9,5	vörösbarna finomszemű homokkő
	830/2 „	263—83	11	ÉK-i	3	vörösbarna finomszemű homokkő
	830/1 „	333—153	14,5	megállapíthatatlan	5	vörösbarna finomszemű homokkő
860 „	211—31	10	„	2,8	vörösbarna mikrokereszt-rétegzett aleurit	
Alsóperm aleuritösszlet F ₁	884/5 „	280—100	13	DK-i	4	vörösbarna feregnyomos aleurit
	884/4 „	304—124	23	megállapíthatatlan	9	vörösbarna aleurit
	884/3 „	281—101	38	ÉK-i	13	vörösbarna finomszemű homokkő
	885/3 „	289—109	47	DK-i	15	vörösbarna mikrokereszt-rétegzett aleurit
	885/2 „	284—104	58	DNy-i	19	vörösbarna finom-homokos aleurit
	884/2 „	287—107	42	megállapíthatatlan	13,6	vörösbarna finomszemű homokkő
	885/1 „	288—108	52	ÉK-i	16	vörösbarna mikrokereszt-rétegzett finom homokos aleurit
	884/1 „	258—78	25	DK-i	10	vörösbarna finomszemű homokkő
	841/1 „	348—168	10	megállapíthatatlan	2,8	vörösbarna mikrokereszt-rétegzett aleurit
	884/6 „	196—16	18	ÉNy-i	7,2	vörösbarna aleurit
	909/1 „	233—53	14	megállapíthatatlan	5	vörösbarna finomszemű homokkő
	935/1 „	260—80	33	ÉNy-i	12,5	vörösbarna mikrokereszt-rétegzett finom-homokkő
	908/1 „	255—75	22	megállapíthatatlan	7	vörösbarna aleurit
	908/2 „	254—74	17	megállapíthatatlan	9	vörösbarna mikrokereszt-rétegzett finom homokkő
	952/1 „	276—96	13	megállapíthatatlan	4	vörösbarna aleurit
	2089/1 „	268—88	38	ÉNy-i	13	vörösbarna feregnyomos aleurit
937/1 „	277—97	11	DK-i	3	vörösbarna mikrokereszt-rétegzett aleurit	

A hullámfodrok közetanyaguk, a bezáró összlet anyaga és alakjuk alapján állóvizi keletkezésűek. Finomszemű homokkő és aleurit-rétegekből álló összletben fordulnak elő s általában szimmetrikus felépítésűek.

A mérési adatokból legbiztosabban az egykori partvonal csapásiránya állapítható meg. Ez az átmeneti rétegcsoportban $340-160^\circ$ irányúnak adódott. Az aleurit-összletben általában K—Ny-i csapásúak a hullámfodrok, bár a K-i és a Ny-i területrészt között ezek átlagában is mutatkozik pár fokos eltérés.

Megkíséreltük a szárazföld, ill. a víztükör helyzetét is meghatározni. Az aszimmetrikus hullámfodor meredekebb oldala a part, a laposabb pedig a víz felé néz. Szimmetrikus alakú hullámfodornál az ásványok torlatszerű feldúsulása adhat felvilágosítást, mert azok a hullámfodor partfelőli oldalának „lábán” halmozódnak fel. E tények figyelembevételével az átmeneti rétegcsoport keletkezése idején a szárazföld DNy-i helyzetét valószínűsíthetjük. Az aleurit-rétegcsoportban az értékelés bizonytalanabb, s így továbbra is kérdéses a szárazföld—víztükör helyzete.

T a n n e r W. F. (1959) a Mexikói-öböl floridai partvidékén a hullámhossz és a vízmélység exponenciális összefüggését állapította meg: a vízmélységgel a hullámhossz növekszik. A táblázatban szereplő vízmélység-értékeket ennek alapján számítottuk. Az aleurit-rétegcsoport alatt átlagosan 4 m-es, az aleurit-rétegcsoport alján 10—20 m-es, felső részén pedig 5—10 m-es vízmélységek adódtak. Azonban a lehetséges tényezők közötti eltérés miatt a mélységadatoknak elsősorban viszonylagos értékük van.

IRODALOM — LITERATUR

- Barabás A. (1955): A mecseki perm időszaki képződmények földtana. — Kézirat. — R u c h i n , L. B. (1958): Grundzüge der Lithologie. Berlin. — T a n n e r , W. F. (1959): Near-shore Studies in Sedimentology and Morphology along the Floride pan-handle coast. Journ. Sed. Petr. 29. 4. p. 564—574. — V a d á s z E. (1955): Elemző földtan. Budapest.

Über die Rippelmarken des unterpermischen Komplexes im Mecsekgebirge

J. SOMOGYI

In den beiden oberen Schichtgruppen des Unterperms des Mecsekgebirges sind zahlreiche Rippelmarken-Bildungen zu beobachten. Diese streichen in NW-SO-licher im unteren, sog. Übergangs-Sandsteinkomplex und in O—W-licher Richtung im oberen, sog. Aleuritkomplex, dadurch wird auch das vermutliche Streichen der ehemaligen Küstenlinie bestimmt. Die Grenze zwischen Wasserspiegel und Festland konnte wegen der allgemein symmetrischen Ausbildung der Rippelmarken nur teilweise ermittelt werden. Auf Grund der Wellenlänge der Rippelmarken kann die Wassertiefe des Sedimentationsbeckens in den unteren Horizonten etwa auf 4 m, in den mittleren auf 10 bis 20 m und in den höchsten auf 5 bis 10 m geschätzt werden.